

УФ-полосовые фильтры UG

Технические характеристики

По вопросам продаж и поддержки обращайтесь:

Алматы (727)345-47-04
Ангарск (3955)60-70-56
Архангельск (8182)63-90-72
Астрахань (8512)99-46-04
Барнаул (3852)73-04-60
Белгород (4722)40-23-64
Благовещенск (4162)22-76-07
Брянск (4832)59-03-52
Владивосток (423)249-28-31
Владикавказ (8672)28-90-48
Владимир (4922)49-43-18
Волгоград (844)278-03-48
Вологда (8172)26-41-59
Воронеж (473)204-51-73
Екатеринбург (343)384-55-89

Иваново (4932)77-34-06
Ижевск (3412)26-03-58
Иркутск (395)279-98-46
Казань (843)206-01-48
Калининград (4012)72-03-81
Калуга (4842)92-23-67
Кемерово (3842)65-04-62
Киров (8332)68-02-04
Коломна (4966)23-41-49
Кострома (4942)77-07-48
Краснодар (861)203-40-90
Красноярск (391)204-63-61
Курск (4712)77-13-04
Курган (3522)50-90-47
Липецк (4742)52-20-81

Магнитогорск (3519)55-03-13
Москва (495)268-04-70
Мурманск (8152)59-64-93
Набережные Челны (8552)20-53-41
Нижний Новгород (831)429-08-12
Новокузнецк (3843)20-46-81
Ноябрьск (3496)41-32-12
Новосибирск (383)227-86-73
Омск (3812)21-46-40
Орел (4862)44-53-42
Оренбург (3532)37-68-04
Пенза (8412)22-31-16
Петрозаводск (8142)55-98-37
Псков (8112)59-10-37
Пермь (342)205-81-47

Ростов-на-Дону (863)308-18-15
Рязань (4912)46-61-64
Самара (846)206-03-16
Санкт-Петербург (812)309-46-40
Саратов (845)249-38-78
Севастополь (8692)22-31-93
Саранск (8342)22-96-24
Симферополь (3652)67-13-56
Смоленск (4812)29-41-54
Сочи (862)225-72-31
Ставрополь (8652)20-65-13
Сургут (3462)77-98-35
Сыктывкар (8212)25-95-17
Тамбов (4752)50-40-97
Тверь (4822)63-31-35

Тольятти (8482)63-91-07
Томск (3822)98-41-53
Тула (4872)33-79-87
Тюмень (3452)66-21-18
Ульяновск (8422)24-23-59
Улан-Удэ (3012)59-97-51
Уфа (347)229-48-12
Хабаровск (4212)92-98-04
Чебоксары (8352)28-53-07
Челябинск (351)202-03-61
Череповец (8202)49-02-64
Чита (3022)38-34-83
Якутск (4112)23-90-97
Ярославль (4852)69-52-93

Россия +7(495)268-04-70

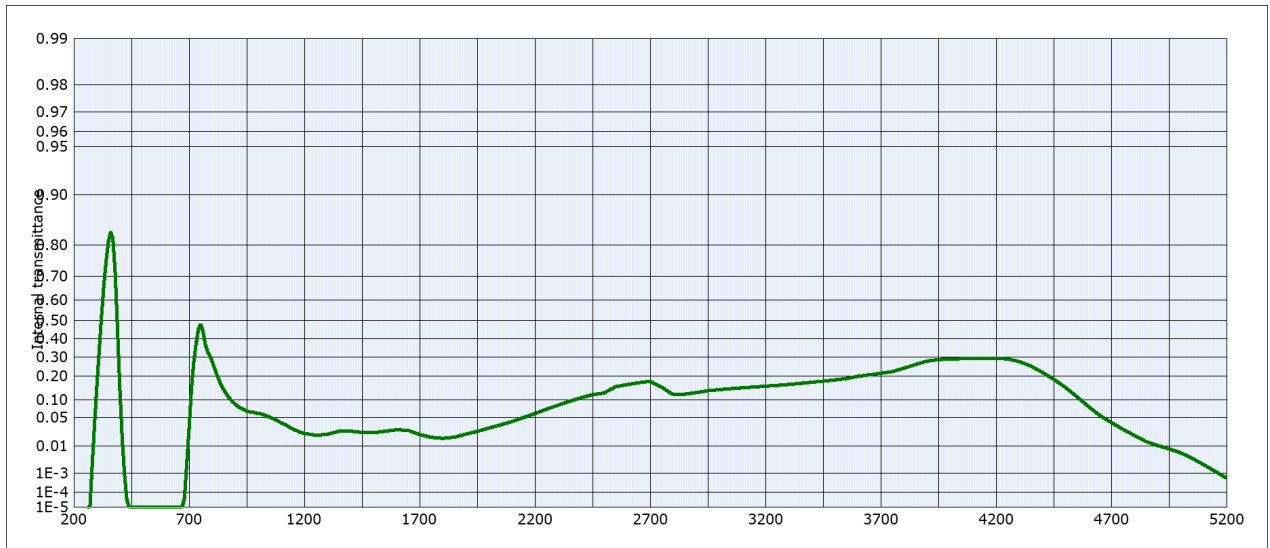
Казахстан +(727)345-47-04

Беларусь +(375)257-127-884

Узбекистан +998(71)205-18-59

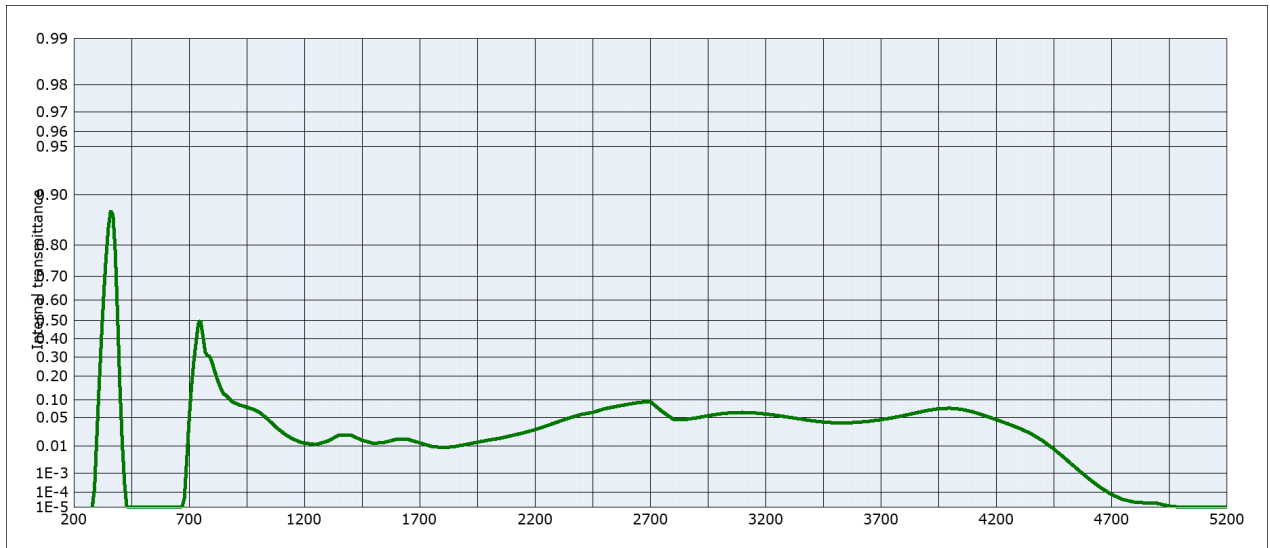
Киргизия +996(312)96-26-47

эл.почта: sqh@nt-rt.ru || сайт: <https://schott.nt-rt.ru/>



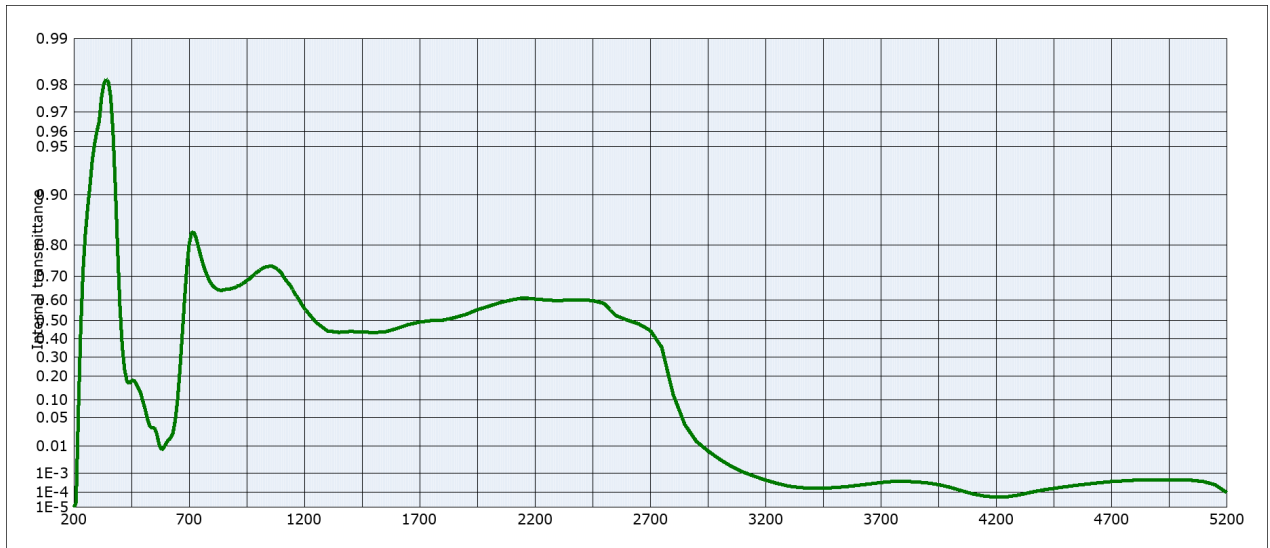
Internal transmittance τ_i at reference thickness $d = 1$ mm
The internal transmittance values, tabulated and graphically represented, are reference values only

λ [nm]	τ_i	λ [nm]	τ_i	λ [nm]	τ_i	λ [nm]	τ_i	λ [nm]	τ_i	λ [nm]	τ_i
200	$< 10^{-5}$	500	$< 10^{-5}$	800	0.277	1100	$3.9 \cdot 10^{-2}$	2200	$6.0 \cdot 10^{-2}$	3700	0.215
210	$< 10^{-5}$	510	$< 10^{-5}$	810	0.242	1110	$3.7 \cdot 10^{-2}$	2250	$7.2 \cdot 10^{-2}$	3750	0.223
220	$< 10^{-5}$	520	$< 10^{-5}$	820	0.209	1120	$3.5 \cdot 10^{-2}$	2300	$8.3 \cdot 10^{-2}$	3800	0.240
230	$< 10^{-5}$	530	$< 10^{-5}$	830	0.181	1130	$3.3 \cdot 10^{-2}$	2350	$9.6 \cdot 10^{-2}$	3850	0.259
240	$< 10^{-5}$	540	$< 10^{-5}$	840	0.158	1140	$3.0 \cdot 10^{-2}$	2400	0.108	3900	0.277
250	$< 10^{-5}$	550	$< 10^{-5}$	850	0.140	1150	$2.9 \cdot 10^{-2}$	2450	0.120	3950	0.286
260	$< 10^{-5}$	560	$< 10^{-5}$	860	0.125	1160	$2.7 \cdot 10^{-2}$	2500	0.126	4000	0.289
270	$< 10^{-5}$	570	$< 10^{-5}$	870	0.112	1170	$2.6 \cdot 10^{-2}$	2550	0.152	4050	0.291
280	$2.4 \cdot 10^{-3}$	580	$< 10^{-5}$	880	0.102	1180	$2.4 \cdot 10^{-2}$	2600	0.162	4100	0.293
290	$3.7 \cdot 10^{-2}$	590	$< 10^{-5}$	890	$9.3 \cdot 10^{-2}$	1190	$2.3 \cdot 10^{-2}$	2650	0.170	4150	0.293
300	0.155	600	$< 10^{-5}$	900	$8.7 \cdot 10^{-2}$	1200	$2.2 \cdot 10^{-2}$	2700	0.176	4200	0.293
310	0.335	610	$< 10^{-5}$	910	$8.1 \cdot 10^{-2}$	1250	$2.0 \cdot 10^{-2}$	2750	0.150	4250	0.289
320	0.519	620	$< 10^{-5}$	920	$7.6 \cdot 10^{-2}$	1300	$2.1 \cdot 10^{-2}$	2800	0.120	4300	0.276
330	0.659	630	$< 10^{-5}$	930	$7.3 \cdot 10^{-2}$	1350	$2.5 \cdot 10^{-2}$	2850	0.122	4350	0.252
340	0.751	640	$< 10^{-5}$	940	$6.9 \cdot 10^{-2}$	1400	$2.6 \cdot 10^{-2}$	2900	0.128	4400	0.220
350	0.807	650	$< 10^{-5}$	950	$6.6 \cdot 10^{-2}$	1450	$2.4 \cdot 10^{-2}$	2950	0.135	4450	0.186
360	0.833	660	$< 10^{-5}$	960	$6.5 \cdot 10^{-2}$	1500	$2.3 \cdot 10^{-2}$	3000	0.140	4500	0.150
370	0.812	670	$< 10^{-5}$	970	$6.3 \cdot 10^{-2}$	1550	$2.5 \cdot 10^{-2}$	3050	0.144	4550	0.113
380	0.706	680	$4.4 \cdot 10^{-5}$	980	$6.3 \cdot 10^{-2}$	1600	$2.7 \cdot 10^{-2}$	3100	0.148	4600	$8.0 \cdot 10^{-2}$
390	0.438	690	$2.5 \cdot 10^{-3}$	990	$6.1 \cdot 10^{-2}$	1650	$2.7 \cdot 10^{-2}$	3150	0.151	4650	$5.5 \cdot 10^{-2}$
400	0.138	700	$2.8 \cdot 10^{-2}$	1000	$6.0 \cdot 10^{-2}$	1700	$2.1 \cdot 10^{-2}$	3200	0.155	4700	$4.0 \cdot 10^{-2}$
410	$1.7 \cdot 10^{-2}$	710	0.139	1010	$5.9 \cdot 10^{-2}$	1750	$1.8 \cdot 10^{-2}$	3250	0.158	4750	$2.8 \cdot 10^{-2}$
420	$8.6 \cdot 10^{-4}$	720	0.269	1020	$5.7 \cdot 10^{-2}$	1800	$1.7 \cdot 10^{-2}$	3300	0.162	4800	$2.0 \cdot 10^{-2}$
430	$3.5 \cdot 10^{-5}$	730	0.368	1030	$5.6 \cdot 10^{-2}$	1850	$1.8 \cdot 10^{-2}$	3350	0.167	4850	$1.4 \cdot 10^{-2}$
440	$< 10^{-5}$	740	0.450	1040	$5.3 \cdot 10^{-2}$	1900	$2.1 \cdot 10^{-2}$	3400	0.172	4900	$1.1 \cdot 10^{-2}$
450	$< 10^{-5}$	750	0.480	1050	$5.1 \cdot 10^{-2}$	1950	$2.5 \cdot 10^{-2}$	3450	0.177	4950	$8.4 \cdot 10^{-3}$
460	$< 10^{-5}$	760	0.442	1060	$4.9 \cdot 10^{-2}$	2000	$3.0 \cdot 10^{-2}$	3500	0.183	5000	$6.3 \cdot 10^{-3}$
470	$< 10^{-5}$	770	0.374	1070	$4.7 \cdot 10^{-2}$	2050	$3.5 \cdot 10^{-2}$	3550	0.189	5050	$4.1 \cdot 10^{-3}$
480	$< 10^{-5}$	780	0.330	1080	$4.5 \cdot 10^{-2}$	2100	$4.2 \cdot 10^{-2}$	3600	0.200	5100	$2.3 \cdot 10^{-3}$
490	$< 10^{-5}$	790	0.307	1090	$4.2 \cdot 10^{-2}$	2150	$5.0 \cdot 10^{-2}$	3650	0.207	5150	$1.2 \cdot 10^{-3}$



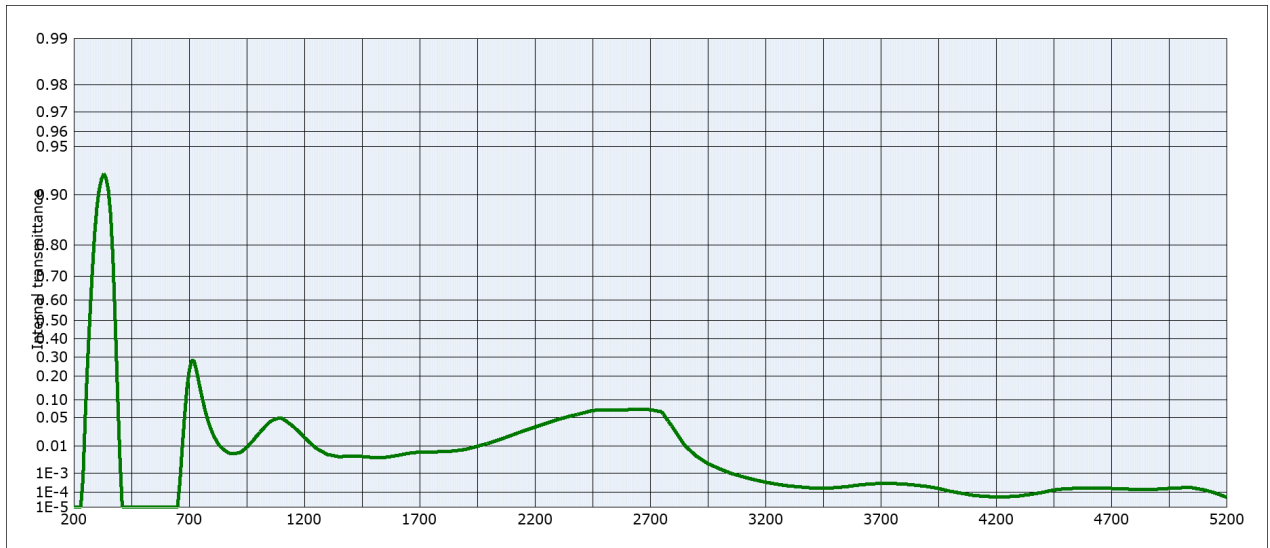
Internal transmittance τ_i at reference thickness $d = 3 \text{ mm}$
The internal transmittance values, tabulated and graphically represented, are reference values only

λ [nm]	τ_i	λ [nm]	τ_i	λ [nm]	τ_i	λ [nm]	τ_i	λ [nm]	τ_i	λ [nm]	τ_i
200	$< 10^{-5}$	500	$< 10^{-5}$	800	0.269	1100	$2.5 \cdot 10^{-2}$	2200	$2.8 \cdot 10^{-2}$	3700	$4.5 \cdot 10^{-2}$
210	$< 10^{-5}$	510	$< 10^{-5}$	810	0.229	1110	$2.3 \cdot 10^{-2}$	2250	$3.4 \cdot 10^{-2}$	3750	$5.0 \cdot 10^{-2}$
220	$< 10^{-5}$	520	$< 10^{-5}$	820	0.193	1120	$2.1 \cdot 10^{-2}$	2300	$4.1 \cdot 10^{-2}$	3800	$5.5 \cdot 10^{-2}$
230	$< 10^{-5}$	530	$< 10^{-5}$	830	0.164	1130	$1.9 \cdot 10^{-2}$	2350	$4.9 \cdot 10^{-2}$	3850	$6.1 \cdot 10^{-2}$
240	$< 10^{-5}$	540	$< 10^{-5}$	840	0.141	1140	$1.7 \cdot 10^{-2}$	2400	$5.7 \cdot 10^{-2}$	3900	$6.8 \cdot 10^{-2}$
250	$< 10^{-5}$	550	$< 10^{-5}$	850	0.123	1150	$1.6 \cdot 10^{-2}$	2450	$6.3 \cdot 10^{-2}$	3950	$7.3 \cdot 10^{-2}$
260	$< 10^{-5}$	560	$< 10^{-5}$	860	0.117	1160	$1.5 \cdot 10^{-2}$	2500	$7.2 \cdot 10^{-2}$	4000	$7.4 \cdot 10^{-2}$
270	$< 10^{-5}$	570	$< 10^{-5}$	870	0.109	1170	$1.4 \cdot 10^{-2}$	2550	$7.9 \cdot 10^{-2}$	4050	$7.1 \cdot 10^{-2}$
280	$< 10^{-5}$	580	$< 10^{-5}$	880	0.101	1180	$1.3 \cdot 10^{-2}$	2600	$8.6 \cdot 10^{-2}$	4100	$6.4 \cdot 10^{-2}$
290	$1.8 \cdot 10^{-4}$	590	$< 10^{-5}$	890	$9.2 \cdot 10^{-2}$	1190	$1.3 \cdot 10^{-2}$	2650	$9.2 \cdot 10^{-2}$	4150	$5.5 \cdot 10^{-2}$
300	$2.0 \cdot 10^{-2}$	600	$< 10^{-5}$	900	$9.0 \cdot 10^{-2}$	1200	$1.2 \cdot 10^{-2}$	2700	$9.5 \cdot 10^{-2}$	4200	$4.6 \cdot 10^{-2}$
310	0.162	610	$< 10^{-5}$	910	$8.7 \cdot 10^{-2}$	1250	$1.1 \cdot 10^{-2}$	2750	$6.6 \cdot 10^{-2}$	4250	$3.8 \cdot 10^{-2}$
320	0.409	620	$< 10^{-5}$	920	$8.4 \cdot 10^{-2}$	1300	$1.4 \cdot 10^{-2}$	2800	$4.7 \cdot 10^{-2}$	4300	$3.0 \cdot 10^{-2}$
330	0.627	630	$< 10^{-5}$	930	$8.2 \cdot 10^{-2}$	1350	$2.0 \cdot 10^{-2}$	2850	$4.6 \cdot 10^{-2}$	4350	$2.2 \cdot 10^{-2}$
340	0.764	640	$< 10^{-5}$	940	$7.9 \cdot 10^{-2}$	1400	$2.1 \cdot 10^{-2}$	2900	$4.9 \cdot 10^{-2}$	4400	$1.5 \cdot 10^{-2}$
350	0.841	650	$< 10^{-5}$	950	$7.7 \cdot 10^{-2}$	1450	$1.5 \cdot 10^{-2}$	2950	$5.4 \cdot 10^{-2}$	4450	$8.3 \cdot 10^{-3}$
360	0.875	660	$< 10^{-5}$	960	$7.5 \cdot 10^{-2}$	1500	$1.2 \cdot 10^{-2}$	3000	$5.9 \cdot 10^{-2}$	4500	$3.9 \cdot 10^{-3}$
370	0.867	670	$< 10^{-5}$	970	$7.3 \cdot 10^{-2}$	1550	$1.3 \cdot 10^{-2}$	3050	$6.2 \cdot 10^{-2}$	4550	$1.6 \cdot 10^{-3}$
380	0.779	680	$4.7 \cdot 10^{-5}$	980	$7.1 \cdot 10^{-2}$	1600	$1.6 \cdot 10^{-2}$	3100	$6.3 \cdot 10^{-2}$	4600	$5.9 \cdot 10^{-4}$
390	0.515	690	$3.5 \cdot 10^{-3}$	990	$6.8 \cdot 10^{-2}$	1650	$1.6 \cdot 10^{-2}$	3150	$6.2 \cdot 10^{-2}$	4650	$2.1 \cdot 10^{-4}$
400	0.152	700	$4.4 \cdot 10^{-2}$	1000	$6.4 \cdot 10^{-2}$	1700	$1.3 \cdot 10^{-2}$	3200	$5.9 \cdot 10^{-2}$	4700	$7.7 \cdot 10^{-5}$
410	$1.3 \cdot 10^{-2}$	710	0.148	1010	$6.1 \cdot 10^{-2}$	1750	$1.0 \cdot 10^{-2}$	3250	$5.5 \cdot 10^{-2}$	4750	$3.6 \cdot 10^{-5}$
420	$3.3 \cdot 10^{-4}$	720	0.270	1020	$5.6 \cdot 10^{-2}$	1800	$9.1 \cdot 10^{-3}$	3300	$5.1 \cdot 10^{-2}$	4800	$2.4 \cdot 10^{-5}$
430	$< 10^{-5}$	730	0.377	1030	$5.2 \cdot 10^{-2}$	1850	$9.8 \cdot 10^{-3}$	3350	$4.7 \cdot 10^{-2}$	4850	$2.1 \cdot 10^{-5}$
440	$< 10^{-5}$	740	0.482	1040	$4.7 \cdot 10^{-2}$	1900	$1.1 \cdot 10^{-2}$	3400	$4.4 \cdot 10^{-2}$	4900	$1.9 \cdot 10^{-5}$
450	$< 10^{-5}$	750	0.497	1050	$4.3 \cdot 10^{-2}$	1950	$1.3 \cdot 10^{-2}$	3450	$4.1 \cdot 10^{-2}$	4950	$1.3 \cdot 10^{-5}$
460	$< 10^{-5}$	760	0.416	1060	$3.8 \cdot 10^{-2}$	2000	$1.5 \cdot 10^{-2}$	3500	$3.9 \cdot 10^{-2}$	5000	$< 10^{-5}$
470	$< 10^{-5}$	770	0.325	1070	$3.5 \cdot 10^{-2}$	2050	$1.7 \cdot 10^{-2}$	3550	$3.9 \cdot 10^{-2}$	5050	$< 10^{-5}$
480	$< 10^{-5}$	780	0.308	1080	$3.1 \cdot 10^{-2}$	2100	$2.0 \cdot 10^{-2}$	3600	$4.0 \cdot 10^{-2}$	5100	$< 10^{-5}$
490	$< 10^{-5}$	790	0.302	1090	$2.8 \cdot 10^{-2}$	2150	$2.3 \cdot 10^{-2}$	3650	$4.2 \cdot 10^{-2}$	5150	$< 10^{-5}$



Internal transmittance τ_i at reference thickness $d = 1$ mm
The internal transmittance values, tabulated and graphically represented, are reference values only

λ [nm]	τ_i	λ [nm]	τ_i	λ [nm]	τ_i	λ [nm]	τ_i	λ [nm]	τ_i	λ [nm]	τ_i
200	$< 10^{-5}$	500	$9.5 \cdot 10^{-2}$	800	0.665	1100	0.712	2200	0.604	3700	$3.6 \cdot 10^{-4}$
210	$2.2 \cdot 10^{-5}$	510	$7.0 \cdot 10^{-2}$	810	0.655	1110	0.696	2250	0.599	3750	$4.0 \cdot 10^{-4}$
220	$6.9 \cdot 10^{-2}$	520	$4.6 \cdot 10^{-2}$	820	0.648	1120	0.683	2300	0.596	3800	$4.1 \cdot 10^{-4}$
230	0.450	530	$3.3 \cdot 10^{-2}$	830	0.644	1130	0.673	2350	0.600	3850	$3.9 \cdot 10^{-4}$
240	0.718	540	$3.0 \cdot 10^{-2}$	840	0.642	1140	0.662	2400	0.600	3900	$3.5 \cdot 10^{-4}$
250	0.826	550	$3.0 \cdot 10^{-2}$	850	0.644	1150	0.644	2450	0.597	3950	$2.8 \cdot 10^{-4}$
260	0.879	560	$2.2 \cdot 10^{-2}$	860	0.646	1160	0.625	2500	0.584	4000	$2.0 \cdot 10^{-4}$
270	0.912	570	$1.1 \cdot 10^{-2}$	870	0.648	1170	0.612	2550	0.525	4050	$1.3 \cdot 10^{-4}$
280	0.939	580	$7.8 \cdot 10^{-3}$	880	0.649	1180	0.595	2600	0.501	4100	$8.2 \cdot 10^{-5}$
290	0.952	590	$9.0 \cdot 10^{-3}$	890	0.652	1190	0.576	2650	0.481	4150	$5.9 \cdot 10^{-5}$
300	0.960	600	$1.2 \cdot 10^{-2}$	900	0.654	1200	0.560	2700	0.446	4200	$5.1 \cdot 10^{-5}$
310	0.966	610	$1.5 \cdot 10^{-2}$	910	0.661	1250	0.489	2750	0.353	4250	$5.4 \cdot 10^{-5}$
320	0.976	620	$1.7 \cdot 10^{-2}$	920	0.663	1300	0.443	2800	0.120	4300	$7.0 \cdot 10^{-5}$
330	0.980	630	$2.3 \cdot 10^{-2}$	930	0.669	1350	0.435	2850	$3.6 \cdot 10^{-2}$	4350	$1.0 \cdot 10^{-4}$
340	0.982	640	$4.4 \cdot 10^{-2}$	940	0.675	1400	0.440	2900	$1.4 \cdot 10^{-2}$	4400	$1.4 \cdot 10^{-4}$
350	0.981	650	0.101	950	0.683	1450	0.437	2950	$7.2 \cdot 10^{-3}$	4450	$1.7 \cdot 10^{-4}$
360	0.976	660	0.227	960	0.688	1500	0.434	3000	$3.8 \cdot 10^{-3}$	4500	$2.1 \cdot 10^{-4}$
370	0.960	670	0.414	970	0.696	1550	0.437	3050	$2.0 \cdot 10^{-3}$	4550	$2.6 \cdot 10^{-4}$
380	0.912	680	0.595	980	0.703	1600	0.456	3100	$1.2 \cdot 10^{-3}$	4600	$3.0 \cdot 10^{-4}$
390	0.787	690	0.727	990	0.711	1650	0.477	3150	$7.4 \cdot 10^{-4}$	4650	$3.5 \cdot 10^{-4}$
400	0.570	700	0.799	1000	0.716	1700	0.490	3200	$4.8 \cdot 10^{-4}$	4700	$4.0 \cdot 10^{-4}$
410	0.360	710	0.829	1010	0.723	1750	0.498	3250	$3.2 \cdot 10^{-4}$	4750	$4.3 \cdot 10^{-4}$
420	0.236	720	0.832	1020	0.728	1800	0.500	3300	$2.3 \cdot 10^{-4}$	4800	$4.7 \cdot 10^{-4}$
430	0.178	730	0.818	1030	0.732	1850	0.513	3350	$1.9 \cdot 10^{-4}$	4850	$4.9 \cdot 10^{-4}$
440	0.168	740	0.795	1040	0.734	1900	0.529	3400	$1.8 \cdot 10^{-4}$	4900	$5.0 \cdot 10^{-4}$
450	0.178	750	0.769	1050	0.734	1950	0.553	3450	$1.8 \cdot 10^{-4}$	4950	$5.0 \cdot 10^{-4}$
460	0.183	760	0.743	1060	0.735	2000	0.570	3500	$1.9 \cdot 10^{-4}$	5000	$5.0 \cdot 10^{-4}$
470	0.166	770	0.719	1070	0.731	2050	0.587	3550	$2.1 \cdot 10^{-4}$	5050	$4.6 \cdot 10^{-4}$
480	0.147	780	0.698	1080	0.727	2100	0.600	3600	$2.5 \cdot 10^{-4}$	5100	$4.0 \cdot 10^{-4}$
490	0.126	790	0.679	1090	0.719	2150	0.609	3650	$3.0 \cdot 10^{-4}$	5150	$2.7 \cdot 10^{-4}$



Internal transmittance τ_i at reference thickness $d = 1$ mm
The internal transmittance values, tabulated and graphically represented, are reference values only

λ [nm]	τ_i	λ [nm]	τ_i	λ [nm]	τ_i	λ [nm]	τ_i	λ [nm]	τ_i	λ [nm]	τ_i
200	$< 10^{-5}$	500	$< 10^{-5}$	800	$2.4 \cdot 10^{-2}$	1100	$4.9 \cdot 10^{-2}$	2200	$3.2 \cdot 10^{-2}$	3700	$3.2 \cdot 10^{-4}$
210	$< 10^{-5}$	510	$< 10^{-5}$	810	$1.8 \cdot 10^{-2}$	1110	$4.6 \cdot 10^{-2}$	2250	$3.8 \cdot 10^{-2}$	3750	$3.2 \cdot 10^{-4}$
220	$< 10^{-5}$	520	$< 10^{-5}$	820	$1.4 \cdot 10^{-2}$	1120	$4.3 \cdot 10^{-2}$	2300	$4.6 \cdot 10^{-2}$	3800	$3.0 \cdot 10^{-4}$
230	$< 10^{-5}$	530	$< 10^{-5}$	830	$1.1 \cdot 10^{-2}$	1130	$3.9 \cdot 10^{-2}$	2350	$5.3 \cdot 10^{-2}$	3850	$2.6 \cdot 10^{-4}$
240	$6.1 \cdot 10^{-4}$	540	$< 10^{-5}$	840	$9.1 \cdot 10^{-3}$	1140	$3.7 \cdot 10^{-2}$	2400	$6.0 \cdot 10^{-2}$	3900	$2.2 \cdot 10^{-4}$
250	$5.6 \cdot 10^{-2}$	550	$< 10^{-5}$	850	$8.0 \cdot 10^{-3}$	1150	$3.3 \cdot 10^{-2}$	2450	$6.8 \cdot 10^{-2}$	3950	$1.7 \cdot 10^{-4}$
260	0.276	560	$< 10^{-5}$	860	$7.0 \cdot 10^{-3}$	1160	$3.0 \cdot 10^{-2}$	2500	$7.0 \cdot 10^{-2}$	4000	$1.2 \cdot 10^{-4}$
270	0.521	570	$< 10^{-5}$	870	$6.3 \cdot 10^{-3}$	1170	$2.7 \cdot 10^{-2}$	2550	$7.0 \cdot 10^{-2}$	4050	$9.0 \cdot 10^{-5}$
280	0.712	580	$< 10^{-5}$	880	$5.9 \cdot 10^{-3}$	1180	$2.4 \cdot 10^{-2}$	2600	$7.0 \cdot 10^{-2}$	4100	$6.7 \cdot 10^{-5}$
290	0.825	590	$< 10^{-5}$	890	$5.8 \cdot 10^{-3}$	1190	$2.1 \cdot 10^{-2}$	2650	$7.2 \cdot 10^{-2}$	4150	$5.7 \cdot 10^{-5}$
300	0.880	600	$< 10^{-5}$	900	$5.9 \cdot 10^{-3}$	1200	$1.8 \cdot 10^{-2}$	2700	$7.0 \cdot 10^{-2}$	4200	$5.2 \cdot 10^{-5}$
310	0.907	610	$< 10^{-5}$	910	$6.1 \cdot 10^{-3}$	1250	$8.8 \cdot 10^{-3}$	2750	$6.4 \cdot 10^{-2}$	4250	$5.4 \cdot 10^{-5}$
320	0.920	620	$< 10^{-5}$	920	$6.4 \cdot 10^{-3}$	1300	$5.5 \cdot 10^{-3}$	2800	$3.0 \cdot 10^{-2}$	4300	$6.1 \cdot 10^{-5}$
330	0.926	630	$< 10^{-5}$	930	$7.0 \cdot 10^{-3}$	1350	$4.6 \cdot 10^{-3}$	2850	$1.1 \cdot 10^{-2}$	4350	$7.6 \cdot 10^{-5}$
340	0.921	640	$< 10^{-5}$	940	$8.1 \cdot 10^{-3}$	1400	$4.8 \cdot 10^{-3}$	2900	$4.8 \cdot 10^{-3}$	4400	$1.0 \cdot 10^{-4}$
350	0.906	650	$< 10^{-5}$	950	$9.4 \cdot 10^{-3}$	1450	$4.6 \cdot 10^{-3}$	2950	$2.5 \cdot 10^{-3}$	4450	$1.4 \cdot 10^{-4}$
360	0.866	660	$3.6 \cdot 10^{-4}$	960	$1.1 \cdot 10^{-2}$	1500	$4.3 \cdot 10^{-3}$	3000	$1.6 \cdot 10^{-3}$	4500	$1.7 \cdot 10^{-4}$
370	0.756	670	$8.1 \cdot 10^{-3}$	970	$1.3 \cdot 10^{-2}$	1550	$4.3 \cdot 10^{-3}$	3050	$1.0 \cdot 10^{-3}$	4550	$1.7 \cdot 10^{-4}$
380	0.482	680	$5.0 \cdot 10^{-2}$	980	$1.5 \cdot 10^{-2}$	1600	$5.0 \cdot 10^{-3}$	3100	$7.0 \cdot 10^{-4}$	4600	$1.8 \cdot 10^{-4}$
390	0.120	690	0.138	990	$1.8 \cdot 10^{-2}$	1650	$6.0 \cdot 10^{-3}$	3150	$5.0 \cdot 10^{-4}$	4650	$1.7 \cdot 10^{-4}$
400	$4.0 \cdot 10^{-3}$	700	0.222	1000	$2.1 \cdot 10^{-2}$	1700	$6.6 \cdot 10^{-3}$	3200	$3.7 \cdot 10^{-4}$	4700	$1.7 \cdot 10^{-4}$
410	$1.0 \cdot 10^{-5}$	710	0.278	1010	$2.5 \cdot 10^{-2}$	1750	$6.7 \cdot 10^{-3}$	3250	$2.9 \cdot 10^{-4}$	4750	$1.6 \cdot 10^{-4}$
420	$< 10^{-5}$	720	0.283	1020	$2.8 \cdot 10^{-2}$	1800	$6.8 \cdot 10^{-3}$	3300	$2.4 \cdot 10^{-4}$	4800	$1.5 \cdot 10^{-4}$
430	$< 10^{-5}$	730	0.240	1030	$3.3 \cdot 10^{-2}$	1850	$7.2 \cdot 10^{-3}$	3350	$2.1 \cdot 10^{-4}$	4850	$1.5 \cdot 10^{-4}$
440	$< 10^{-5}$	740	0.185	1040	$3.7 \cdot 10^{-2}$	1900	$8.0 \cdot 10^{-3}$	3400	$1.8 \cdot 10^{-4}$	4900	$1.6 \cdot 10^{-4}$
450	$< 10^{-5}$	750	0.136	1050	$4.1 \cdot 10^{-2}$	1950	$1.0 \cdot 10^{-2}$	3450	$1.8 \cdot 10^{-4}$	4950	$1.7 \cdot 10^{-4}$
460	$< 10^{-5}$	760	$9.7 \cdot 10^{-2}$	1060	$4.4 \cdot 10^{-2}$	2000	$1.2 \cdot 10^{-2}$	3500	$1.9 \cdot 10^{-4}$	5000	$1.9 \cdot 10^{-4}$
470	$< 10^{-5}$	770	$6.7 \cdot 10^{-2}$	1070	$4.6 \cdot 10^{-2}$	2050	$1.6 \cdot 10^{-2}$	3550	$2.1 \cdot 10^{-4}$	5050	$1.9 \cdot 10^{-4}$
480	$< 10^{-5}$	780	$4.7 \cdot 10^{-2}$	1080	$4.8 \cdot 10^{-2}$	2100	$2.0 \cdot 10^{-2}$	3600	$2.6 \cdot 10^{-4}$	5100	$1.4 \cdot 10^{-4}$
490	$< 10^{-5}$	790	$3.3 \cdot 10^{-2}$	1090	$4.8 \cdot 10^{-2}$	2150	$2.6 \cdot 10^{-2}$	3650	$3.0 \cdot 10^{-4}$	5150	$9.4 \cdot 10^{-5}$

По вопросам продаж и поддержки обращайтесь:

Алматы (727)345-47-04
Ангарск (3955)60-70-56
Архангельск (8182)63-90-72
Астрахань (8512)99-46-04
Барнаул (3852)73-04-60
Белгород (4722)40-23-64
Благовещенск (4162)22-76-07
Брянск (4832)59-03-52
Владивосток (423)249-28-31
Владикавказ (8672)28-90-48
Владимир (4922)49-43-18
Волгоград (844)278-03-48
Вологда (8172)26-41-59
Воронеж (473)204-51-73
Екатеринбург (343)384-55-89

Иваново (4932)77-34-06
Ижевск (3412)26-03-58
Иркутск (395)279-98-46
Казань (843)206-01-48
Калининград (4012)72-03-81
Калуга (4842)92-23-67
Кемерово (3842)65-04-62
Киров (8332)68-02-04
Коломна (4966)23-41-49
Кострома (4942)77-07-48
Краснодар (861)203-40-90
Красноярск (391)204-63-61
Курск (4712)77-13-04
Курган (3522)50-90-47
Липецк (4742)52-20-81

Магнитогорск (3519)55-03-13
Москва (495)268-04-70
Мурманск (8152)59-64-93
Набережные Челны (8552)20-53-41
Нижний Новгород (831)429-08-12
Новокузнецк (3843)20-46-81
Ноябрьск (3496)41-32-12
Новосибирск (383)227-86-73
Омск (3812)21-46-40
Орел (4862)44-53-42
Оренбург (3532)37-68-04
Пенза (8412)22-31-16
Петрозаводск (8142)55-98-37
Псков (8112)59-10-37
Пермь (342)205-81-47

Ростов-на-Дону (863)308-18-15
Рязань (4912)46-61-64
Самара (846)206-03-16
Санкт-Петербург (812)309-46-40
Саратов (845)249-38-78
Севастополь (8692)22-31-93
Саранск (8342)22-96-24
Симферополь (3652)67-13-56
Смоленск (4812)29-41-54
Сочи (862)225-72-31
Ставрополь (8652)20-65-13
Сургут (3462)77-98-35
Сыктывкар (8212)25-95-17
Тамбов (4752)50-40-97
Тверь (4822)63-31-35

Тольятти (8482)63-91-07
Томск (3822)98-41-53
Тула (4872)33-79-87
Тюмень (3452)66-21-18
Ульяновск (8422)24-23-59
Улан-Удэ (3012)59-97-51
Уфа (347)229-48-12
Хабаровск (4212)92-98-04
Чебоксары (8352)28-53-07
Челябинск (351)202-03-61
Череповец (8202)49-02-64
Чита (3022)38-34-83
Якутск (4112)23-90-97
Ярославль (4852)69-52-93

Россия +7(495)268-04-70

Казахстан +(727)345-47-04

Беларусь +(375)257-127-884

Узбекистан +998(71)205-18-59

Киргизия +996(312)96-26-47

эл.почта: sqh@nt-rt.ru || сайт: <https://schott.nt-rt.ru/>